

A photograph showing the Earth as a bright blue and white sphere rising over the dark, cratered horizon of the Moon. The scene is set against the blackness of space.

Aula-2

Gravitação

Física Geral II - F 228
1º semestre, 2021

Energia Potencial Gravitacional

(Supondo um sistema conservativo: $\Delta E_{mec} = 0$; $E_{mec} = K + U$)

$$\vec{F} = -\frac{GMm}{r^2} \hat{r} \quad ; \quad \Delta U = -W$$

(A variação da energia potencial é igual ao negativo do trabalho)

$$dU = -\vec{F} \cdot d\vec{s} = -F_r dr = -\left(-\frac{GMm}{r^2}\right) dr$$

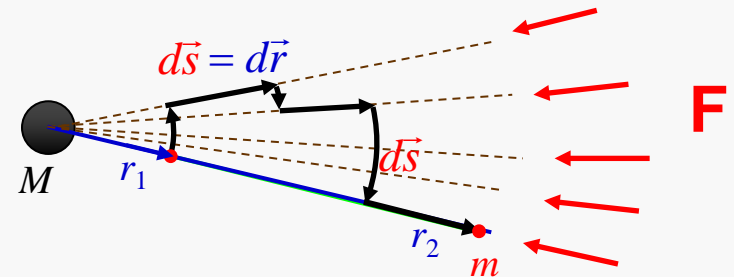
Integrando:

$$U = \int G \frac{Mm}{r^2} dr = -G \frac{Mm}{r} + C$$

$$U(\infty) \equiv 0 \rightarrow C = 0$$

Daí:

$$U(r) = -\frac{GMm}{r}$$

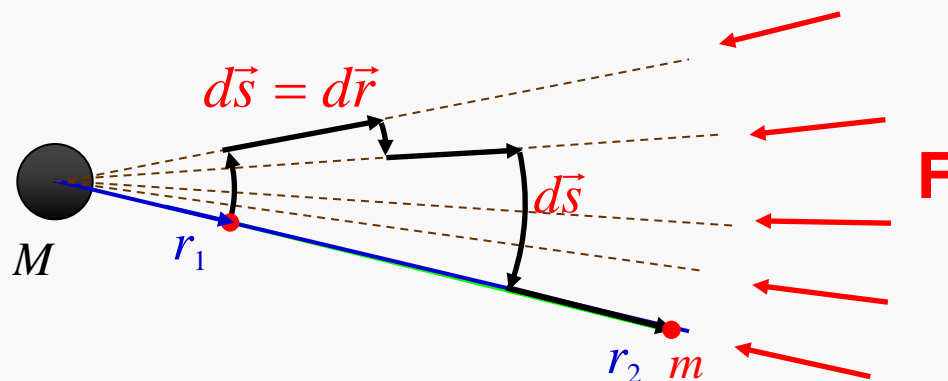


Energia Potencial Gravitacional

Força Conservativa $\rightarrow \Delta U$ independe da trajetória

$$\Delta U_{\text{gravit.}}_{r_1 \rightarrow r_2} = - \int_{r_1}^{r_2} \vec{F} \cdot d\vec{s} = \int_{r_1}^{r_2} \frac{GMm}{r^2} \hat{r} \cdot d\vec{s} = \int_{r_1}^{r_2} \frac{GMm}{r^2} dr$$

$$\Delta U_{\text{gravit.}}_{r_1 \rightarrow r_2} = U_{r_2} - U_{r_1} = GMm \left[-\frac{1}{r} \right]_{r_1}^{r_2} = GMm \left(\frac{1}{r_1} - \frac{1}{r_2} \right)$$



$$U(r) = -\frac{GMm}{r}$$

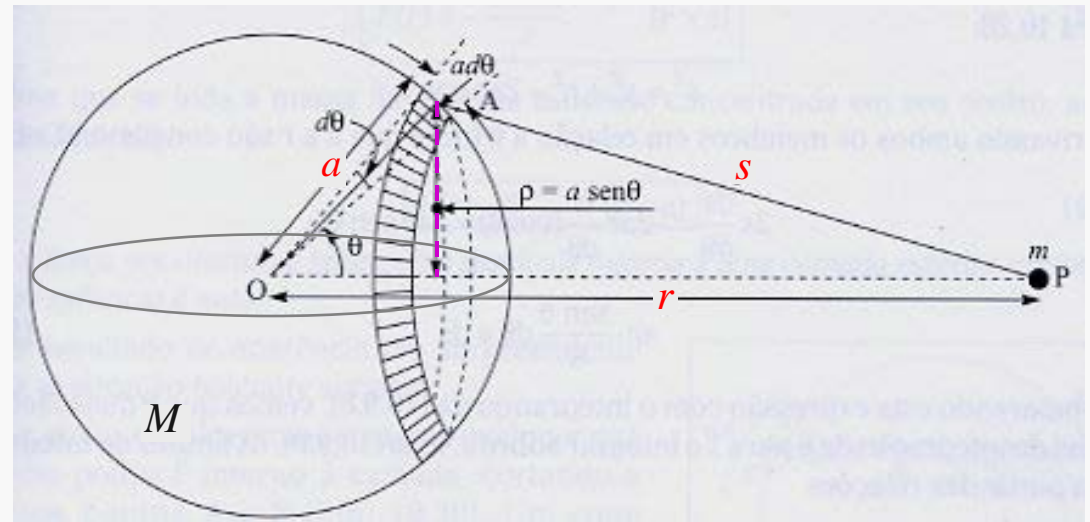
Esfera maciça (Newton - 1687)

- Consideramos uma distribuição uniforme de massa em camadas esféricas, como se fosse uma cebola:

$$dU_{\text{anel}} = -G \frac{m}{s} dM$$

Sendo M a massa da camada esférica:

$$\frac{dM}{M} = \frac{\text{área do anel}}{4\pi a^2}$$



O raio do anel é: $\rho = a \sin \theta$
e sua largura é: $a d\theta$

Então: $\text{área do anel} = (2\pi\rho)(a d\theta) = 2\pi a^2 \sin \theta d\theta$

➡

$$\frac{dM}{M} = \frac{2\pi a^2 \sin \theta d\theta}{4\pi a^2} = \frac{\sin \theta d\theta}{2} \rightarrow dM = \frac{M \sin \theta d\theta}{2}$$

④

Esfera maciça (Newton - 1687)

- Portanto, a energia potencial do anel fica:

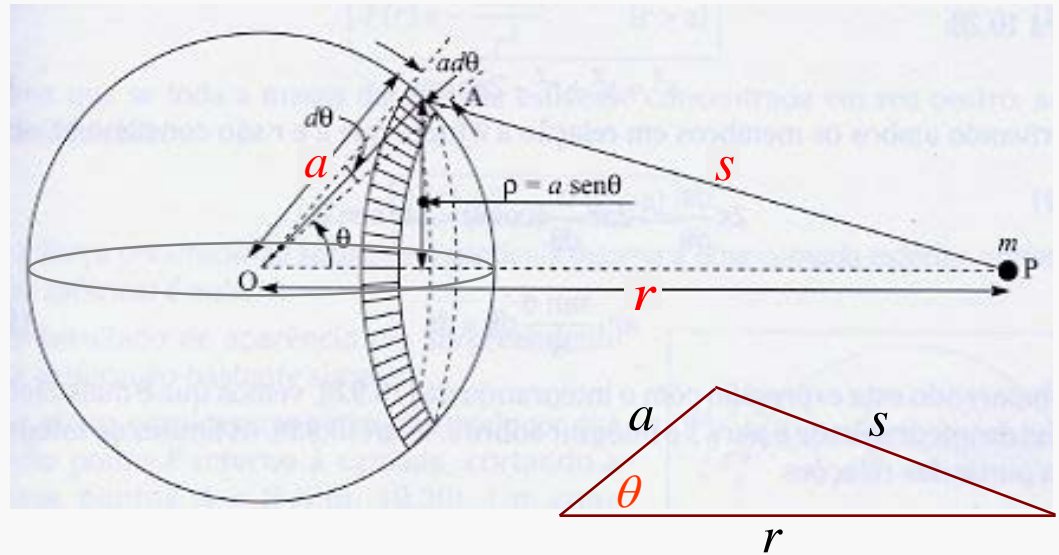
$$dU_{anel} = -G \frac{m}{s} \frac{M \sin \theta}{2} d\theta$$

$$dU_{anel} = -G \frac{m}{s} dM$$

$$dM = \frac{M \sin \theta d\theta}{2}$$

- A energia potencial total de uma casca esférica é obtida pela soma sobre todos os anéis, o que equivale a integrar sobre θ , de 0 até π :

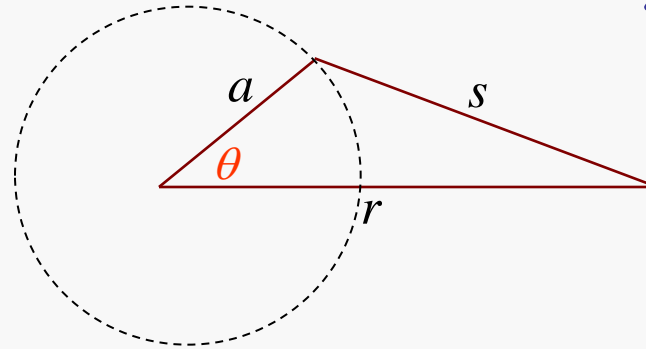
$$U = -G \frac{M m}{2} \int_0^\pi \frac{\sin \theta}{s} d\theta$$



Esfera maciça (Newton - 1687)

Mas, s varia com θ . Usando a lei dos cosenos temos:

$$(*) \quad s^2 = a^2 + r^2 - 2ar \cos \theta$$



Derivando em θ : $ar \frac{\text{sen} \theta}{s} d\theta = ds \rightarrow \frac{\text{sen} \theta}{s} d\theta = \frac{ds}{ar}$

Mudando a variável para s , fica:

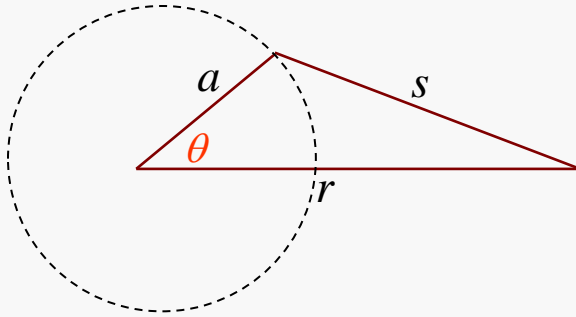
$$U = -G \frac{Mm}{2} \int_0^\pi \frac{\text{sen} \theta}{s} d\theta$$

$$U = -G \frac{Mm}{2ar} \int_{s_{\min}}^{s_{\max}} ds = -G \frac{Mm}{2ar} (s_{\max} - s_{\min})$$

onde:
$$(*) \quad \begin{cases} \theta = 0 \rightarrow s^2 = s_{\min}^2 = (r - a)^2 \rightarrow s_{\min} = r - a \\ \theta = \pi \rightarrow s^2 = s_{\max}^2 = (r + a)^2 \rightarrow s_{\max} = r + a \end{cases}$$

Esfera maciça (Newton - 1687)

Análise da energia potencial

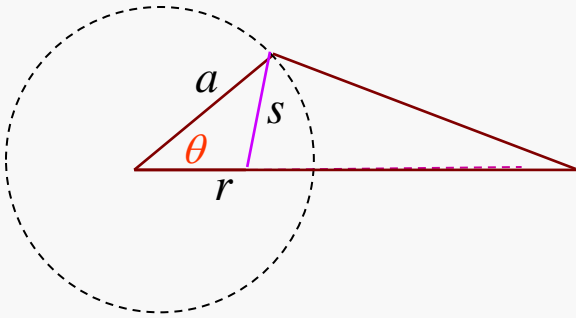


$$U = -G \frac{Mm}{2ar} \int_{s_{\min}}^{s_{\max}} ds = -G \frac{Mm}{2ar} (s_{\max} - s_{\min})$$

- Como $s \geq 0$ (distância) :
- Temos sempre: $s_{\max} = r + a$
- Se $r > a \rightarrow s_{\min} = r - a$

Esfera maciça (Newton - 1687)

Análise da energia potencial



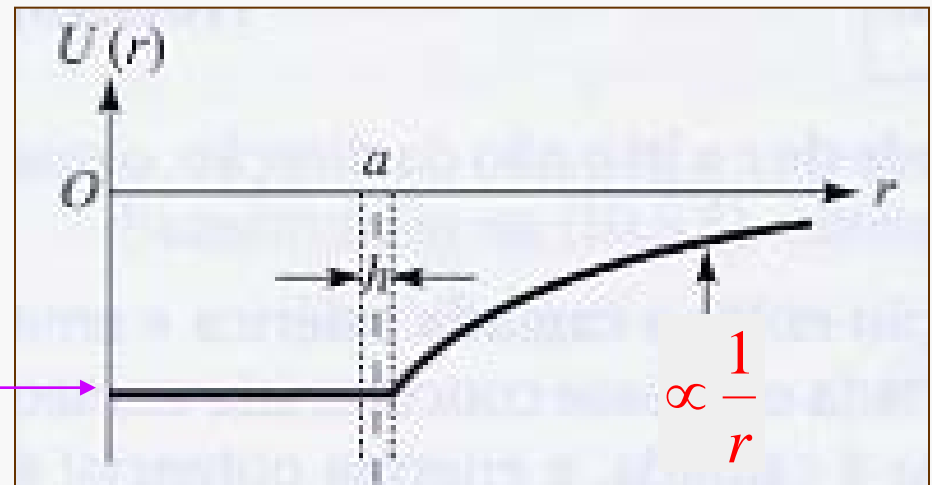
$$U = -G \frac{Mm}{2ar} \int_{s_{\min}}^{s_{\max}} ds = -G \frac{Mm}{2ar} (s_{\max} - s_{\min})$$

- Como $s \geq 0$ (distância) :
- Temos sempre: $s_{\max} = r + a$
- Se $r > a \rightarrow s_{\min} = r - a$; Se $r < a \rightarrow s_{\min} = a - r$

Então:

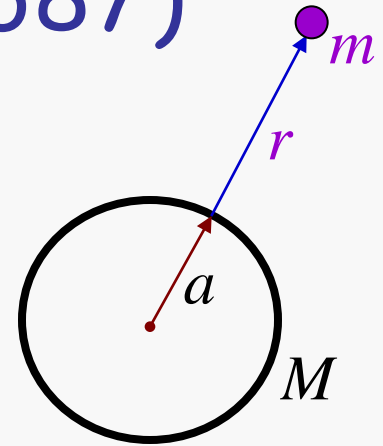
$$U = -G \frac{Mm}{r} \quad (r > a)$$

$$U = -G \frac{Mm}{a} \quad (r < a)$$



Esfera maciça (Newton - 1687)

- A partícula m , num ponto externo à casca, comporta-se como se toda a massa da casca estivesse no seu centro!



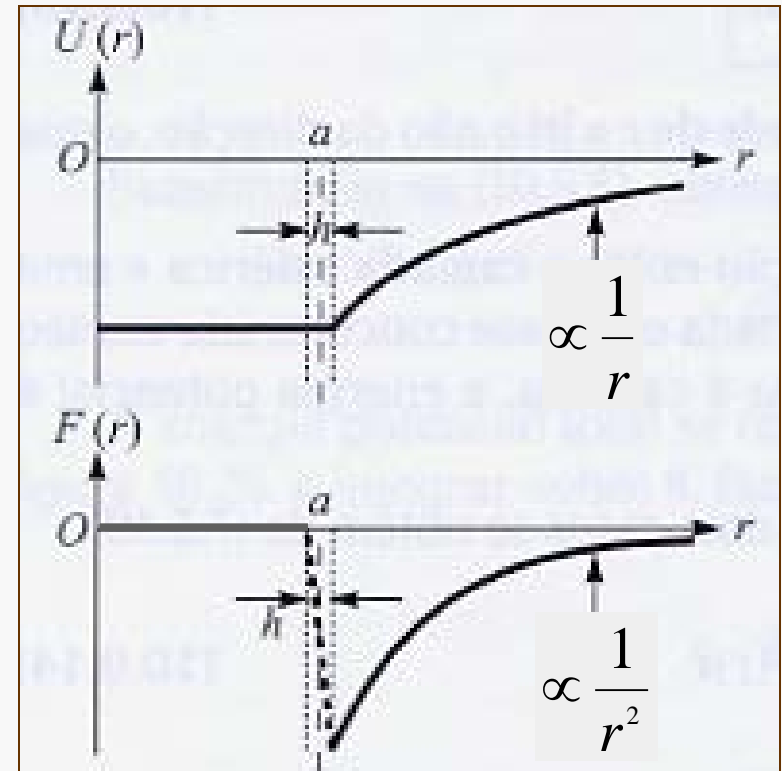
$$U = -G \frac{Mm}{r} \quad (r > a)$$

$$\vec{F}(r) = -\frac{dU}{dr} \hat{r} = -G \frac{Mm}{r^2} \hat{r} ; \quad (r > a)$$

➤ Num ponto interno à casca o potencial é constante e independente do ponto:

$$U = -G \frac{Mm}{a} \quad (r < a)$$

$$\vec{F}(r) = -\frac{dU}{dr} \hat{r} = 0 ; \quad (r < a)$$



Esfera maciça (Newton - 1687)

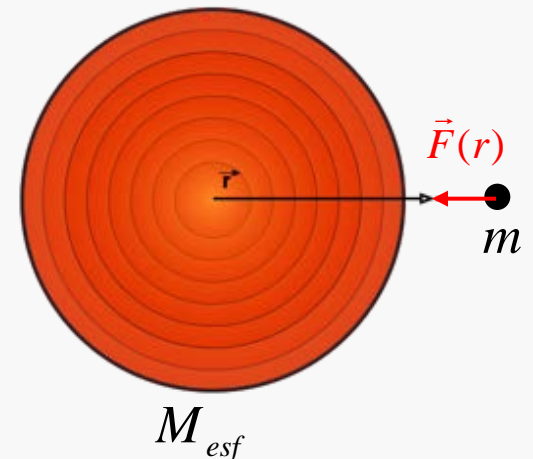
- Para uma distribuição de massa esfericamente simétrica a densidade só depende do raio r :

$$\rho = \rho(r)$$

- Para uma esfera maciça de raio R , se o ponto é externo à esfera, o resultado anterior (casca esférica) pode ser usado. Considerando a esfera como um conjunto de cascas, cada uma podendo ser substituída pela sua massa no centro, obtém-se:

$$U(r) = -G \frac{M_{\text{esf}} m}{r} \quad (r > R)$$

$$\vec{F}(r) = -\frac{dU}{dr} \hat{r} = -G \frac{M_{\text{esf}} m}{r^2} \hat{r} \quad (r > R)$$



Esfera maciça (Newton - 1687)

- Massa m num ponto interno à esfera ($r < R$):

Neste caso as camadas de massa com raio maior que r não exercem força sobre m . A força é dada por:

$$\vec{F}(r) = -Gm \frac{M'(r)}{r^2} \hat{r} \quad (r < R)$$

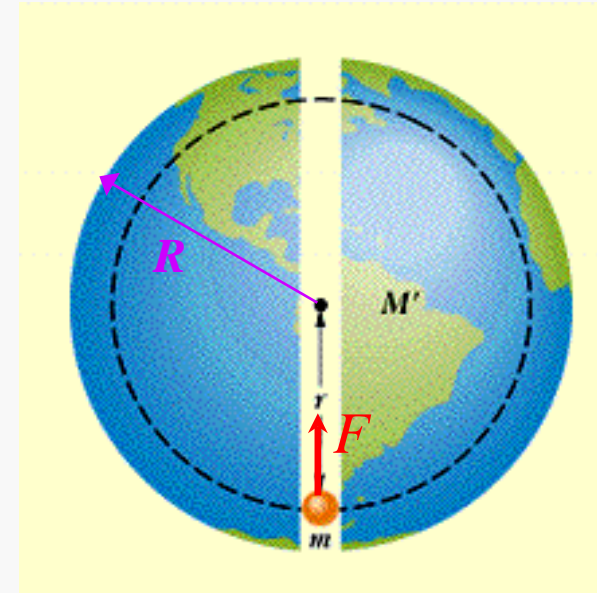
onde M' está contida na esfera de raio r . Supondo que a densidade é constante, $\rho(r) = \rho_0$, teremos:

$$M'(r) = \frac{4}{3}\pi r^3 \rho_0 = \left(\frac{4}{3}\pi (R^3) \rho_0 \right) \frac{r^3}{(R^3)} = M \frac{r^3}{R^3}$$

Então:

$$\vec{F}(r) = -\left(G \frac{mM}{R^3} r \right) \hat{r} \quad ; \quad (r < R); \quad \rho = \rho_0$$

ou: $\vec{F}(r) = -K\vec{r}$; onde: $K = \frac{GmM}{R^3}$



Esfera maciça (Newton - 1687)

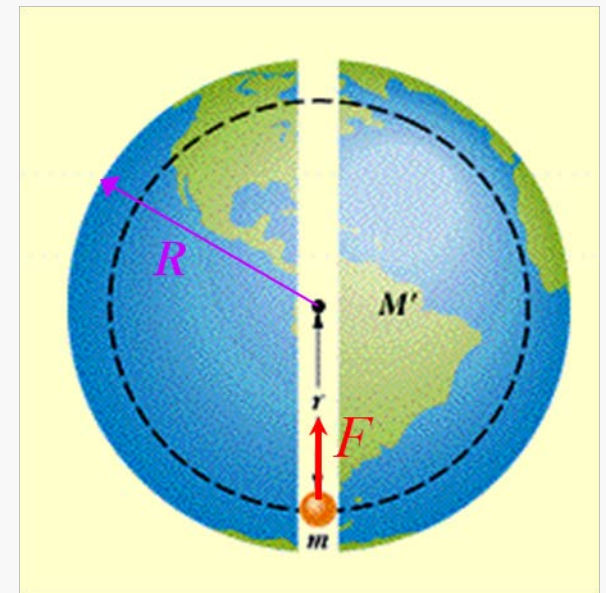
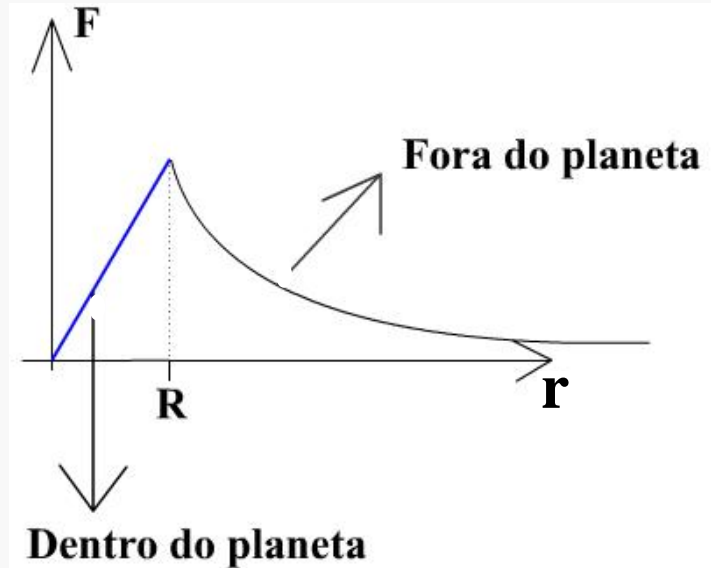
Portanto, o módulo da força gravitacional será:

➤ $r > R$: $F(r) = G \frac{Mm}{r^2}$

➤ $r < R$:
$$\left\{ \begin{array}{l} F(r) = G \frac{mM}{R^3} r \\ F(r) = Kr ; \quad K = \frac{GmM}{R^3} \end{array} \right.$$

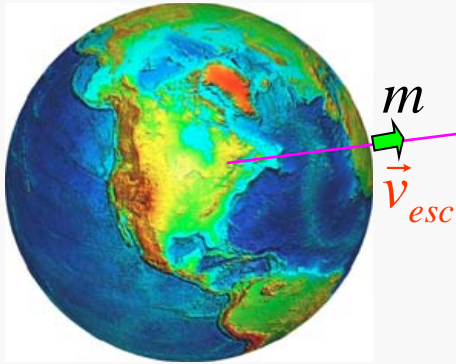
Como: $\vec{F}(r) = -K\vec{r}$

Um corpo no túnel que passa pelo centro do planeta ficará oscilando!



Exemplo: Velocidade de escape

(Supondo um sistema conservativo: $E_T = K + U = \text{Cte.}$)



∞

É a velocidade mínima tal que, no infinito:

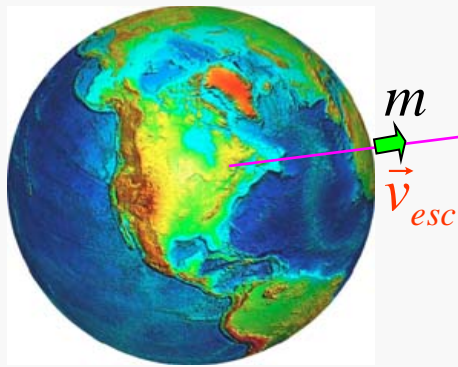
$$E_T = K + U = 0$$

Mas, na superfície : $K + U = \frac{1}{2} \cancel{m} v_{esc}^2 + \left(-\frac{GM \cancel{m}}{R} \right) = 0$

Daí : $v_{esc}^2 = 2 \frac{GM}{R}$

Exemplo: Velocidade de escape

(Supondo um sistema conservativo: $E_T = K + U = \text{Cte.}$)



É a velocidade mínima tal que, no infinito:

$$E_T = K + U = 0$$

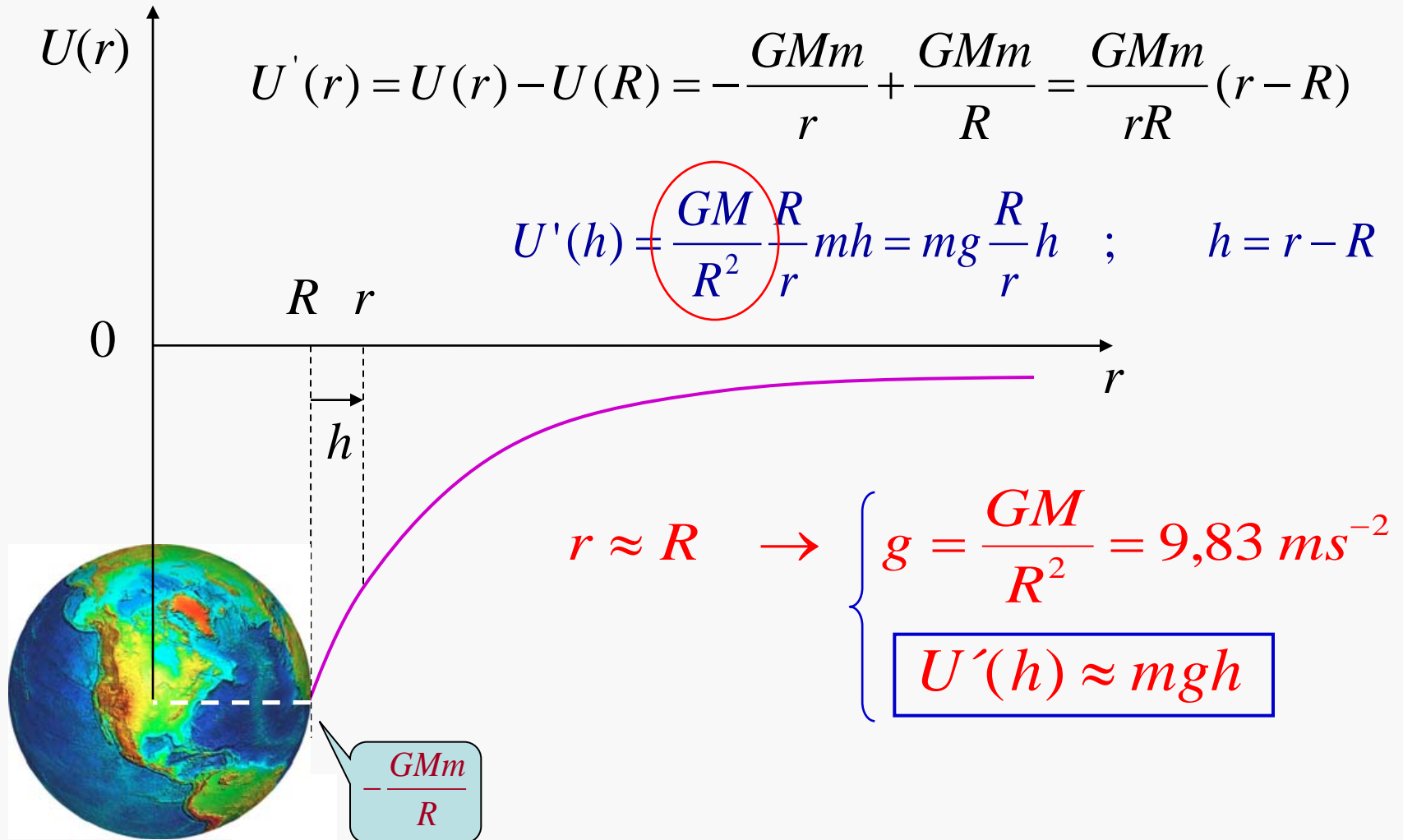
Mas, na superfície : $K + U = \frac{1}{2}mv_{esc}^2 + \left(-\frac{GMm}{R}\right) = 0$

Daí : $v_{esc}^2 = 2\frac{GM}{R} \times \frac{R}{R} = 2gR \rightarrow v_{esc} = \sqrt{2gR}$ $g = \frac{GM}{R^2}$

Então : $v_{esc} = \sqrt{2gR} \approx \sqrt{2 \times 9,83 \times 6,37 \times 10^6} \approx 11,2 \frac{\text{km}}{\text{s}}$

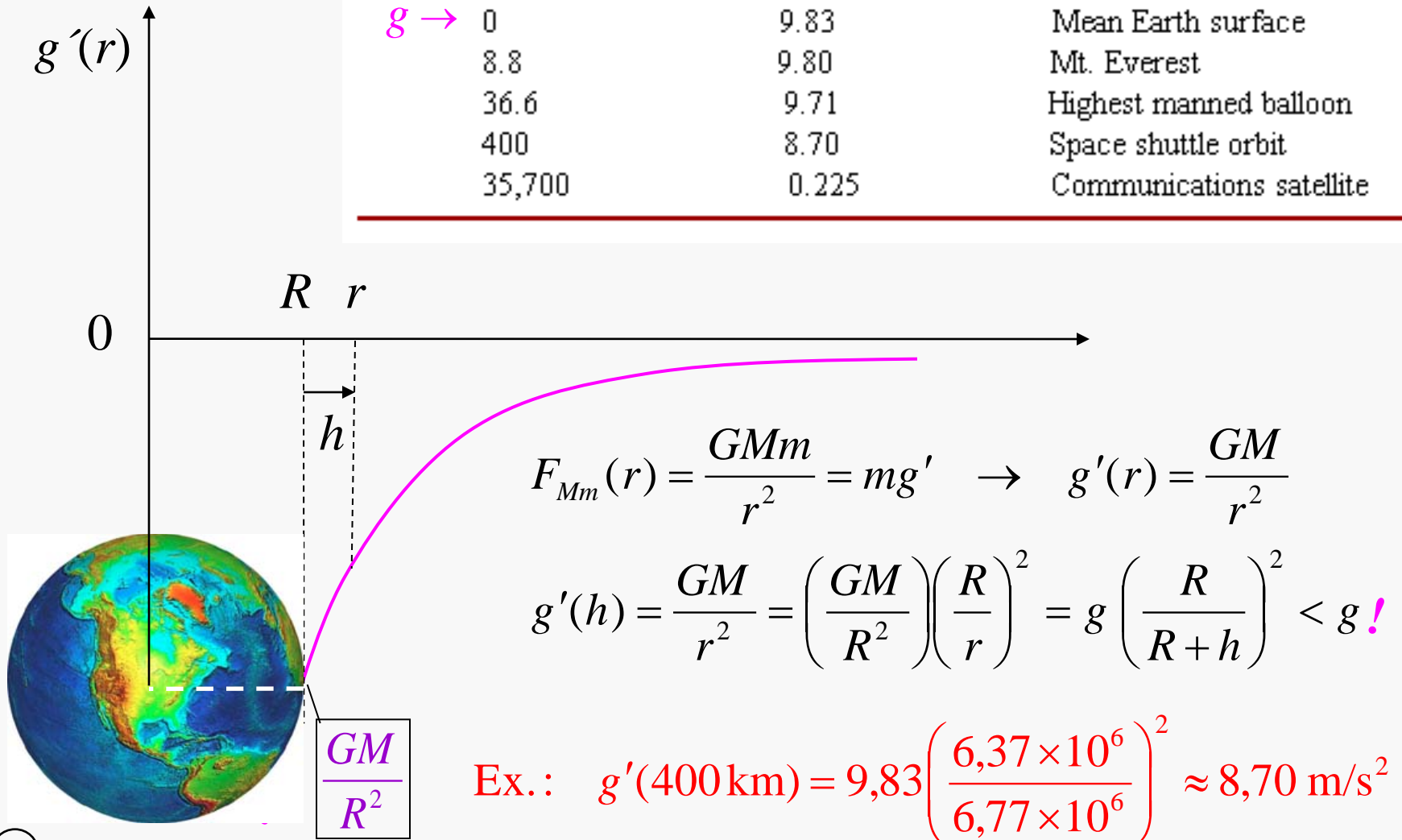
Exemplo: Na vizinhança da Terra...

Seja U' a energia potencial, tal que: $U' = 0$, quando $r = R$:

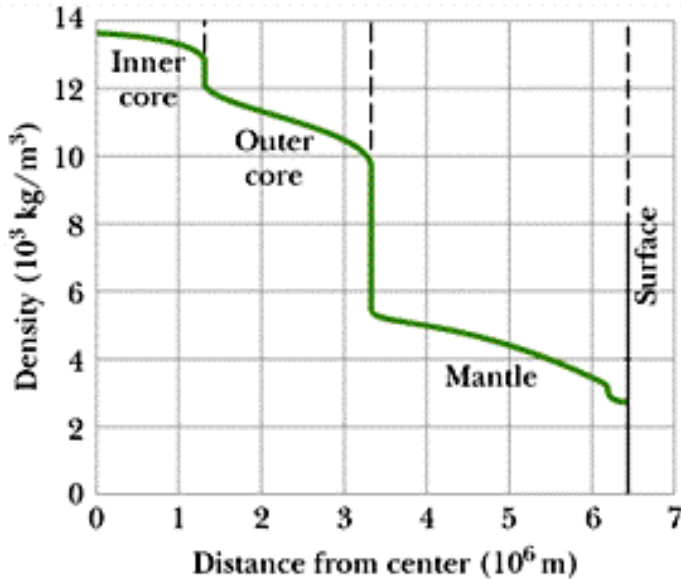


Exemplo: g na vizinhança da Terra

h : ALTITUDE (km)	$a_g(\text{m/s}^2)$	ALTITUDE EXAMPLE
$g \rightarrow 0$	9.83	Mean Earth surface
8.8	9.80	Mt. Everest
36.6	9.71	Highest manned balloon
400	8.70	Space shuttle orbit
35,700	0.225	Communications satellite



Fatores que podem afetar g



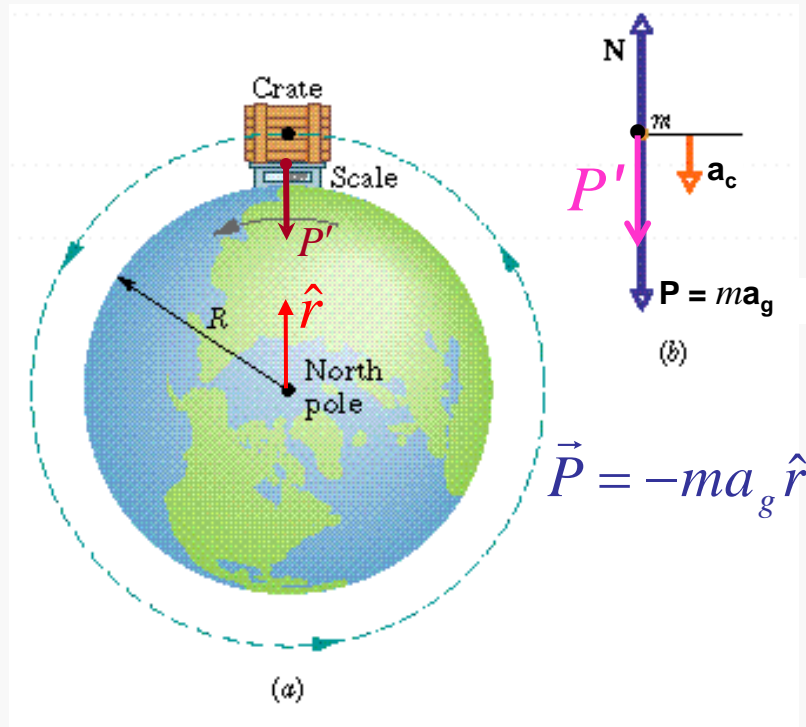
1) A Terra não é uniforme!

2) A Terra não é exatamente uma esfera – o raio Equatorial é 21 Km maior do que nos polos. Portanto, g é maior nos polos!

3) Movimento de rotação da Terra...

Fatores que podem afetar g

3) Movimento de rotação da Terra



$$\vec{N} + \vec{P} = m\vec{a}_c = -m\omega^2 R \hat{r}$$
$$\vec{N} = (ma_g - m\omega^2 R) \hat{r} = -\vec{P}'$$

Supondo: $N = P' = mg'$

$$\cancel{m}g' = \cancel{m}a_g - \cancel{m}\omega^2 R$$

$$g' = a_g - \omega^2 R$$

- Usando $R = 6,37 \times 10^6$ m; e $\omega = 2\pi/T$, onde $T = 24$ h, teremos que g' é menor que a_g por apenas cerca de $0,034$ m/s²

Os limites da Lei da Gravitação de Newton

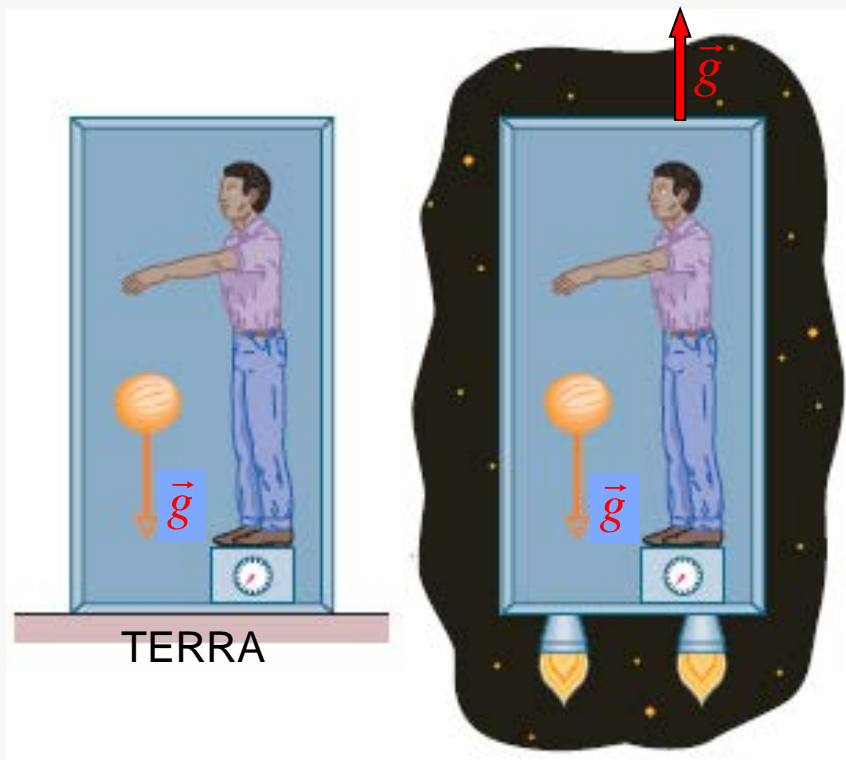
- A lei de Newton vale para planetas, para a queda de corpos e para distâncias interatômicas...
- Até onde ela ainda fica válida?
- Tentativas de verificar correções à lei de Newton já foram feitas em várias escalas ...
- Mas, a lei de Newton continua válida!

$$\vec{F} = -\frac{G M m}{r^2} \hat{r}$$

Relatividade Geral

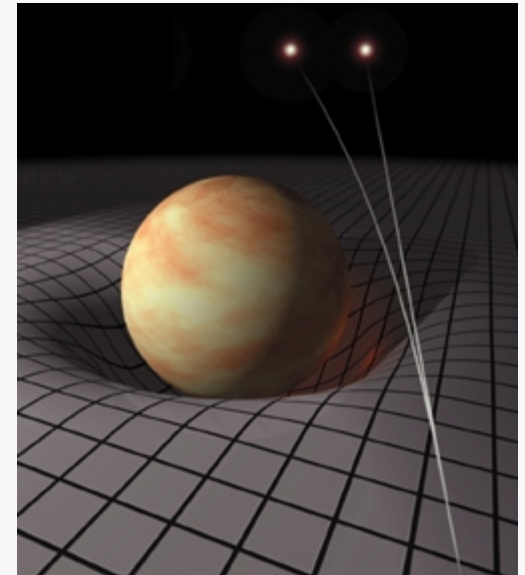
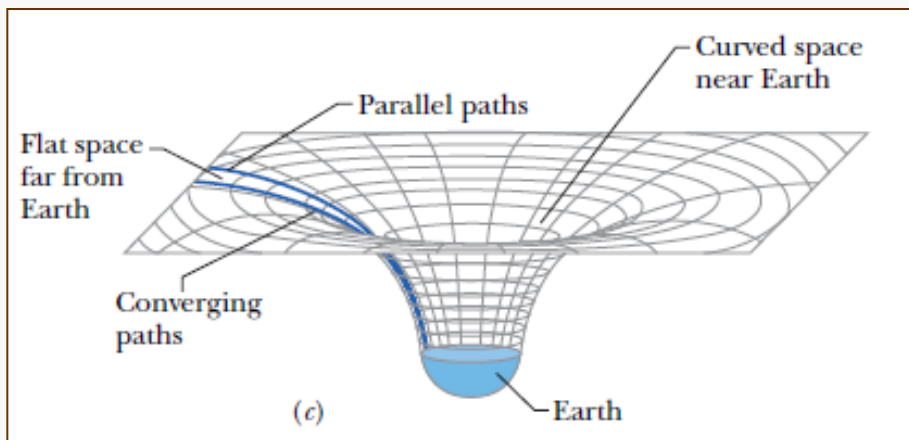
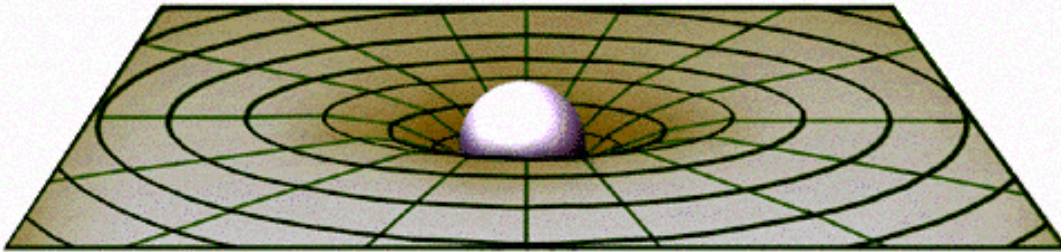
- Movimento Retilíneo Uniforme em um referencial inercial parece acelerado, se visto de um referencial não-inercial.
- Einstein encarou a **força gravitacional** como uma **força de inércia**:
É impossível distinguir a física num campo gravitacional constante daquela num referencial uniformemente acelerado!

"O elevador de Einstein"



Relatividade Geral

- Só precisamos de **geometria** para descrever trajetórias dos corpos;
- Einstein encarou a **força gravitacional** como uma **força de inércia** → **curvatura do espaço-tempo!**



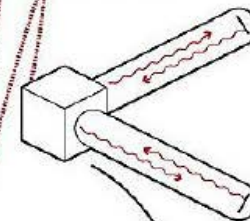
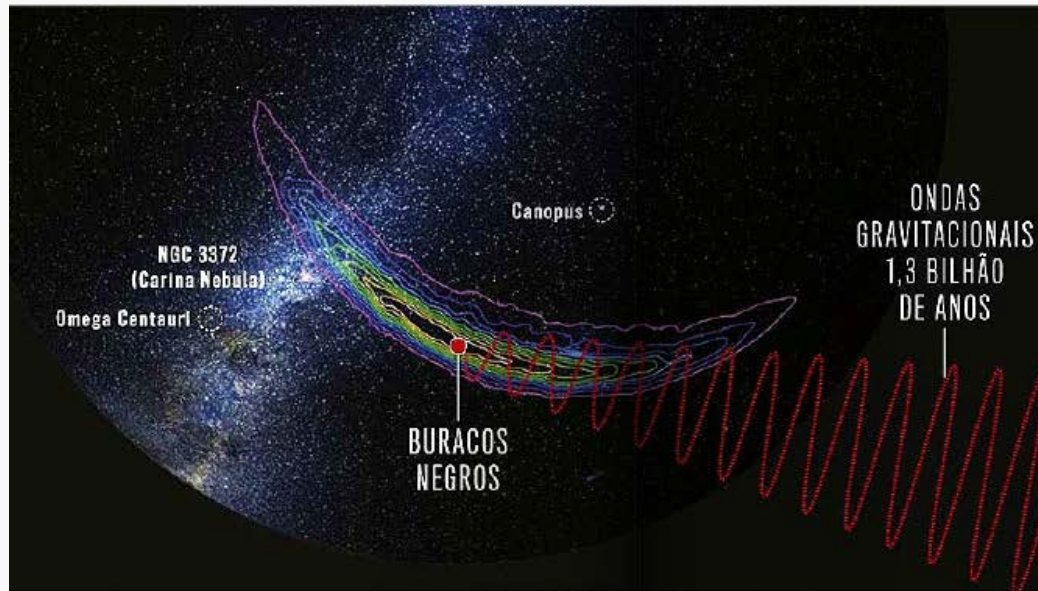
"Lente Gravitacional"



Buracos negros

- **Supernova:** explosão de uma estrela de grande massa ($M_{\text{Super}} > 10 M_{\text{Sol}}$):
 - $M < 1,4 M_{\text{Sol}}$ ➡ esfria e vira anã branca
 - $M > 1,4 M_{\text{Sol}}$ ➡ contrai e vira uma estrela de nêutrons ($r \sim 10 \text{ km}$; densidade $\sim 10^{15} \text{ g/cm}^3$)
- **Buraco Negro:** surge quando $M > 3 M_{\text{Sol}}$;
- Nada escapa de um Buraco Negro (**radiação de Hawking?**)...
- O **raio de Schwarzschild** R_s , onde a velocidade de escape é c (luz), é chamado '**horizonte de eventos**', o limite em que algo pode se aproximar do buraco negro e ainda tem a possibilidade de escapar.

Detecção de Ondas Gravitacionais



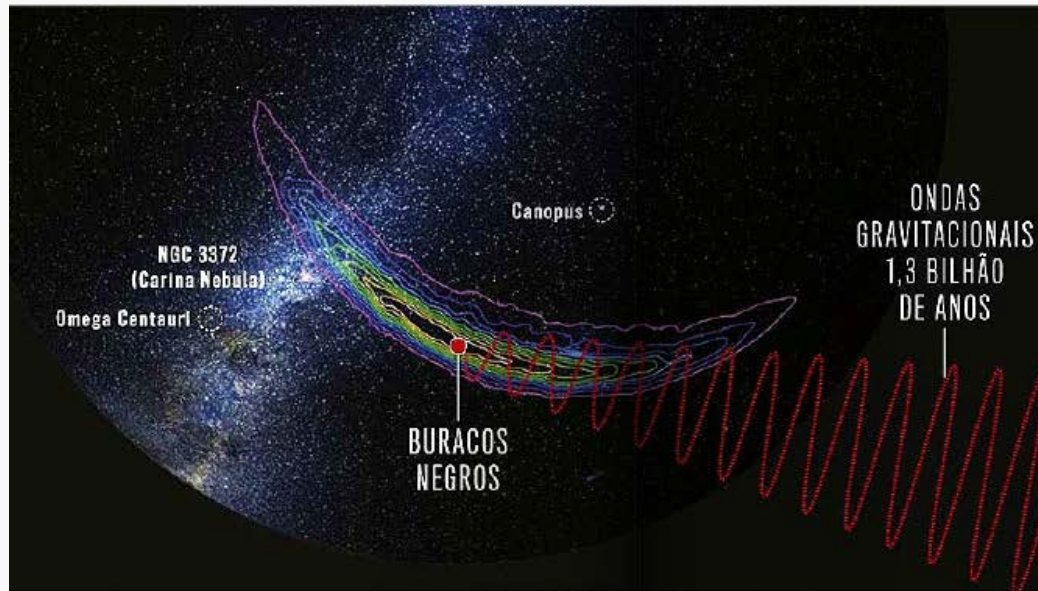
O EXPERIMENTO

O Ligo (a sigla em inglês para Observatório de Ondas Gravitacionais por Interferômetro) é um grupo de pesquisa que inclui cerca de 1000 cientistas de quinze países. O grupo recebeu 1,1 bilhão de dólares da Fundação Nacional de Ciência dos Estados Unidos para a construção de observatórios em dois estados americanos, Washington e Louisiana.

A LOCALIZAÇÃO DOS DETECTORES

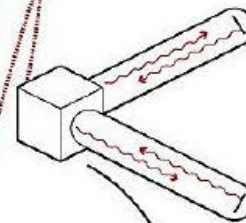


Detecção de Ondas Gravitacionais



O EXPERIMENTO

O Ligo (a sigla em inglês para Observatório de Ondas Gravitacionais por Interferômetro) é um grupo de pesquisa que inclui cerca de 1000 cientistas de quinze países. O grupo recebeu 1,1 bilhão de dólares da Fundação Nacional de Ciência dos Estados Unidos para a construção de observatórios em dois estados americanos, Washington e Louisiana.



A LOCALIZAÇÃO DOS DETECTORES

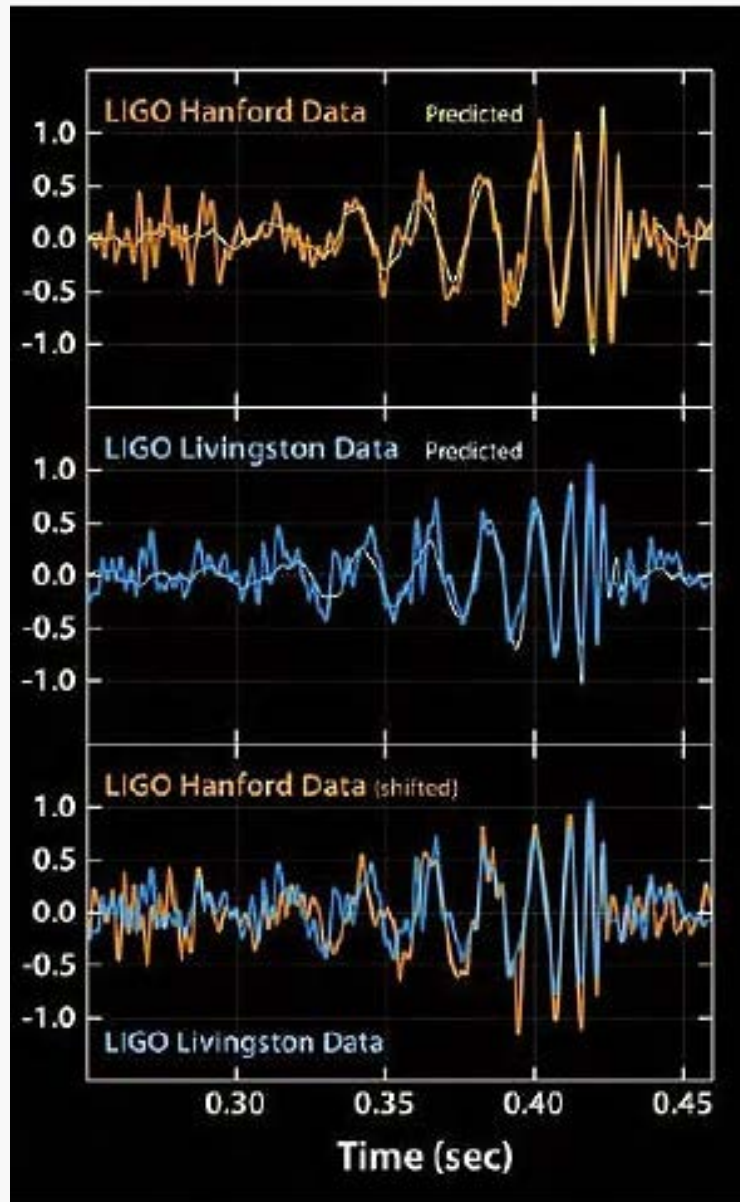


Há 1,3 bilhão de anos colidiram no espaço dois buracos negros, um com 29 e o outro com 36 vezes a massa do Sol.



As ondas gravitacionais detectadas pelo Ligo foram produzidas pelo choque entre esses dois buracos negros. Elas viajaram a velocidade da luz por 1,3 bilhão de anos e atingiram os detectores do Ligo em setembro do ano passado.

Detecção de Ondas Gravitacionais



Detecção de Ondas Gravitacionais

